

九州大学工学部 正員 上田年比古
○正員 岩口英昭

1)まえがき 複雑部や潜りゼキの下流部などの流れの急変部では、その構造物の先端より発生した乱れが下流へと拡散していくとき、自由噴流と類似の強い乱流場を形成し、さらに水路底面に沿って大きな逆流域が存在する。したがって、その流れの解明には乱れの構造に関する研究が必要である。ここでは潜り刃形ゼキ下流部について、二成分 Hot Film 流速計を用いて流速変動を計測し、レイノルズ応力分布および乱れ強度分布などを求め、さらに相関およびスペクトル解析などを行ない、乱れの構造を把握しようとするものである。

2)実験方法及び解析法 実験は、巾60cm長さ14mの水路に高さ15cmの刃形ゼキを取り付けて行った。ゼキよりかなり下流の reattaching point 附近では、水面に近い部分でも瞬間的な逆流が存在し、Hot Filmによる乱れの計測はかなり困難である。このことは、噴流域と逆流域の境界付近の平均流速がゼロに近いところでも同様である。ここではゼキ下流60cmまでの、主にボテンシャルコアの存在する領域について計測を行なう。平均流速の測定には、正逆両用の小型プロペラ流速計(直径8mm, 1回転に3個のパルスを発生)を併用した。それぞれの流速計はヤンオシロでモニターして、不正常と思われるデータは除外した。Hot Film 流速計のデータの A-D 変換時のサンプリング間隔 Δt は $1/30$ 秒, $1/40$ 秒とし、各測定におけるデータ数は4096個とした。

3)平均流速分布 図-1に平均流速の測定結果を示す。噴流域では全領域で流速分布の相似性が良く保たれているが、ゼキ下流140cmの断面(逆流域の消滅した位置)ではかなりやせた流速分布となっている。逆流域では、ゼキ直後の下流11cm, 20cmの断面は、高さ全体にわたりてかなり一様な分布をしておりが、それより下流では相似な分布形をしている。

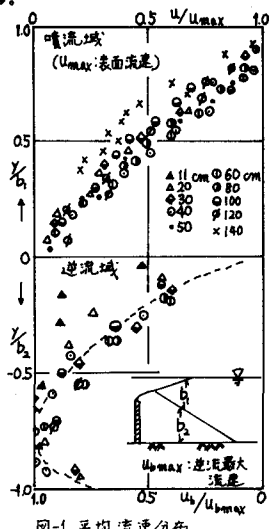
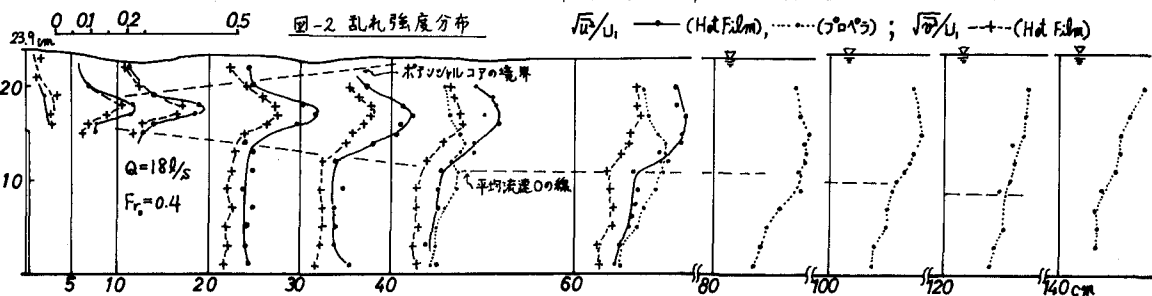
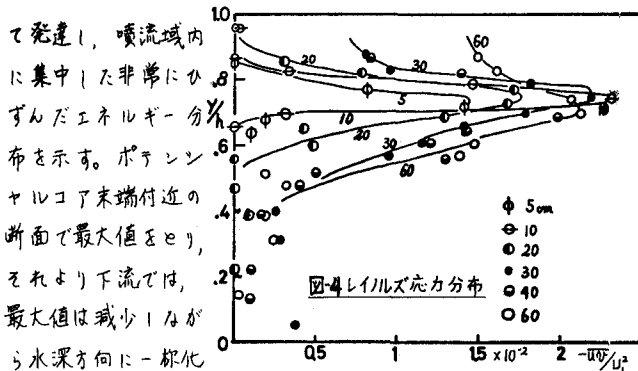


図-1 平均流速分布

4)乱れ強度分布 図-2に乱れ強度 $\sqrt{u'_2}/u_1$, $\sqrt{u'_1}/u_1$ (u_1 :ゼキ頂部の断面平均流速) を示す。ゼキ頂部で発生した乱れは強度を急速に増しながら下流へと広がっていくとき、ボテンシャルコア末端付近で最大値を示す。また、各断面における強度の極大値は、水路底からほぼ同じ高さに存在している。ボテンシャルコア末端付近より下流では、逆流域の高さはほぼ一定となり、120~140cm付近で急に消滅する。そして各断面での乱れ強度はその最大値が徐々に減少し、水深方向に一様化される傾向にある。40cmより下流の断面では、プロペラ流速計による乱れ強度の測定値($\sqrt{u'_2}/u_1$)が並記されている。これは、ヤンオシロに記録されたパルスを0.5秒間隔で読みとり、変動速度を求めしたものである。この計測値を Hot Film による値と同様に比較することはできるが、乱れの定性的な変化の様子は説明できるようである。下流110~120cmの逆流域が消滅する付近では、上流側で見られたような乱れ強度の極大値がなくなり、水路底から水面へと単調に増加する傾向を示す。図-3, 図-4に、乱れエネルギーおよびレイノルズ応力の分布を示す。ゼキ頂から発生する乱れは、そのエネルギーが急速に増加し





て発達し、噴流域内に集中した非常にひずんだエネルギー分布を示す。ボテンシャルコア末端付近の断面で最大値となり、それより下流では、最大値は減少しながら水深方向に一様化していく。レイノルズ応力はさらに極端な分布形をしており、逆流域ではほとんどゼロに近い。各断面における最大値を比較すると下流10cmが最も大きくなり、この付近ではセキ頂から発達する逆流域の高さが最も大きくなり、平均速度勾配 dy/dy が最も大きくなるところである。それより下流では最大値はやや減少しながら水深方向に一様化される傾向にある。

(5) 相関係数 図-5に下流20cm, 60cmの断面での自己相関係数 $R_{uu}(t)$ を示す。全体的傾向として、水路底から水面へと自己相関は小さくなる傾向にあり、逆流域では噴流域と比べてかなり低周波の渦に支配される。両者を比較すると、60cmの断面では水路底から水面まで相関の差異は小さくなる。これは流れを支配する渦の周波数が均一化され、乱れが水深方向に一様化されていく傾向にあることを示す。図-6に底から同一高さにおける相関の流れ方向の変化を示す。水路底付近の逆流部では、下流にいくにつれて相関が小さくなり、噴流域内においては逆に下流へいくにつれて相関が大きくなる傾向にある。

したがって、セキ頂部で発生した乱れは、下流へと低周波成分が大きくなりながら移動し、逆流域では、セキに近づくにつれて低周波の渦に支配されるようになることを示す。以上より、噴流域逆流域のそれぞれの高さ b_1, b_2 に支配されるようなスケールの乱れが存在すると考えられる。図-7は、縦方向(流れ方向)平均スケール L_x 、および横方向平均スケール L_y の分布を示す。これは、相関係数から求めた Integral time scale (remiscale の方法により計算) T_x, T_y に Taylor の凍結乱流の仮定を適用して、 $L_x = T_x \cdot U, L_y = T_y \cdot U$ (U :各点の平均流速) で求めたものである。図は、平均流速 U の実を原実としている。10~30cmの断面では、ボテンシャルコア及び水路底に近づくにつれて L_x, L_y はやや大きくなるが、40~60cmでは全断面にほぼ一定値を保つようになり、前述の b_1, b_2 に支配されたスケールの乱れが考えられる。

(6) エネルギースペクトル 高速 Fourier 変換によって、有限 Fourier 係数、 $A_K = \frac{2}{N} \sum_{k=1}^{N-1} U_k \cos \frac{2\pi k}{N} Kt, B_K = \frac{2}{N} \sum_{k=1}^{N-1} U_k \sin \frac{2\pi k}{N} Kt$

(N : データ数, U_k : 乱れ速度) を計算し、周波数スペクトル $S(f_K) = 2N\omega t(A_K^2 + B_K^2)$ を求め、三角形フィルターによって平滑化した。図-8(a), (b)には下流20cmおよび60cmの断面のスペクトル分布が示されている。下流20cmの水面付近には、

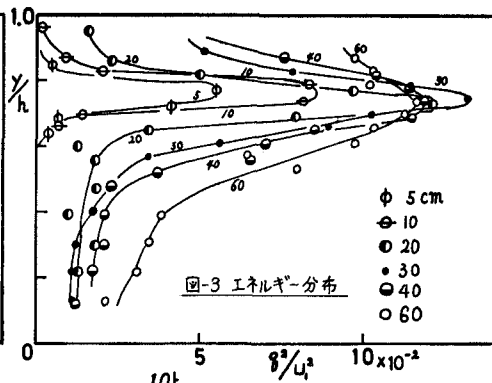


図-5 深さ方向の相関の変化
下流60cm
(数字は水路底からの高さ)

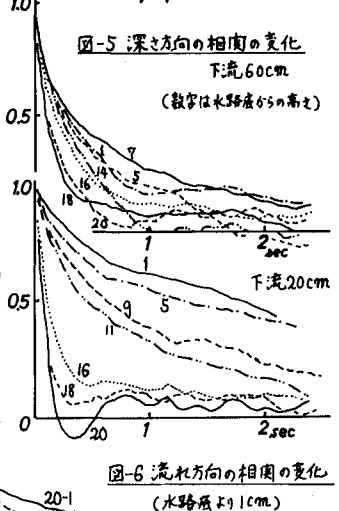
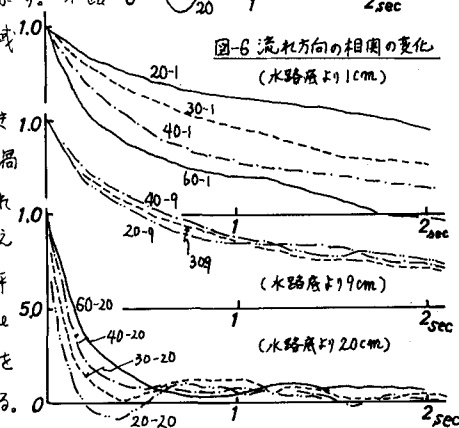


図-6 流れ方向の相関の変化
(水路底より1cm)



(水路底より19cm)

(水路底より20cm)

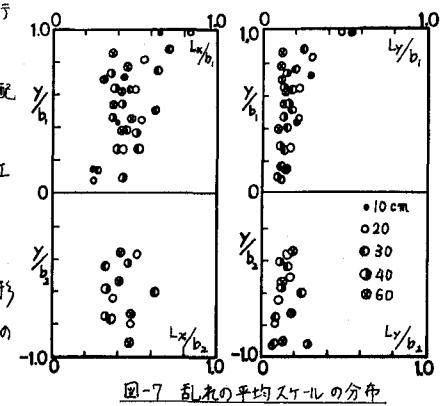


図-7 乱れの平均スケールの分布

1.4 Hz 附近に強いピークが存在し、モニター結果を見ても、周期0.6~0.8秒の周期的変動が明確であり、 $\Delta t = 1/100$ 秒のデータによる相関と0.7秒位の明確な周期性がある。セキ下流10~40cmの水面には波長約20cmの定常波が存在する。一様流速口の流れをとかのぼる波の波速Cは、

$$(C-U)^2 = (\theta/k) \tanh Kk$$

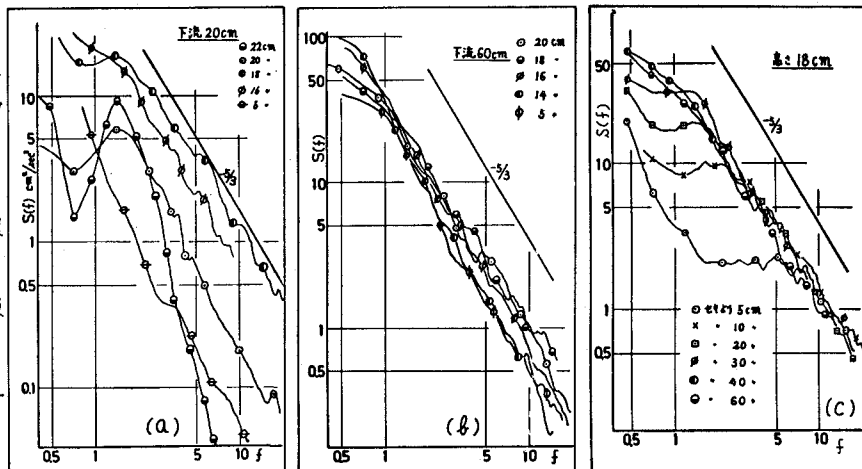


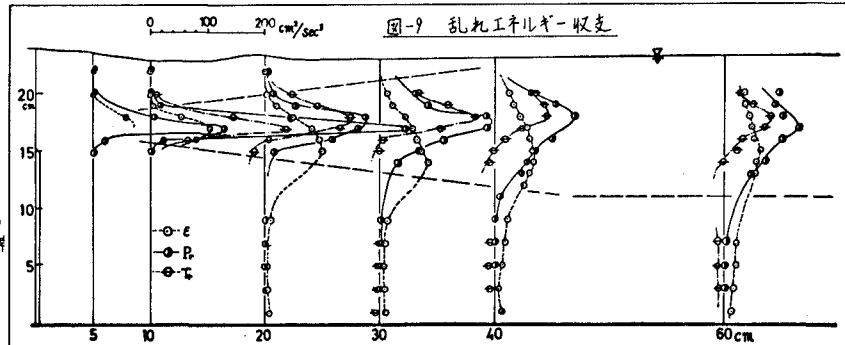
図-8 乱れのエネルギー・スペクトル分布

(K: 波数, k: 水深). $C = -U$, $\tanh Kk = 1$ とし、波長 $L = 2\pi/k = 20\text{cm}$ として波の周波数 f を求めると、 $f = 1.4\text{Hz}$ となり、水面に存在する波の影響がスペクトルのピークとなって現われたと考えられる。60cm の断面の噴流域内ではスペクトルはほぼ重なり、逆流域との差もなくなる。図-8(C)は、高さ 18cm(乱れの強さがほぼ最大となる位置)でのスペクトルの流れ方向の様子を示す。高周波数の部分は $-5/3$ 乗の勾配で一つに重なり、セキに近いところは低周波の部分でスペクトルは平坦になり、下流になると $-5/3$ 乗の勾配で低周波の部分が大きくなる傾向がある。これは、下流へいくにつれて乱れのスケールが大きくなるから、相間係数から得られた結果と一致する。

⑦乱れのエネルギーの収支について 図-9に乱れエネルギーの生成項(P_r)、逸散項(ε)、移差項(T_r)を示す。乱れエネルギー式において、圧力変動および粘性力を考慮される仕事は小さいと仮定して無視すると、

$$\frac{1}{2} \left[\frac{\partial}{\partial x} (U \cdot \bar{U}^2) + \frac{\partial}{\partial y} (V \cdot \bar{V}^2) + \frac{\partial}{\partial z} (W \cdot \bar{W}^2) + \frac{\partial}{\partial y} (\bar{U} \cdot \bar{V}^2) + \frac{\partial}{\partial z} (\bar{U} \cdot \bar{W}^2) + \frac{\partial}{\partial x} (\bar{V} \cdot \bar{W}^2) \right] = -\bar{U}\bar{V} \left(\frac{\partial U}{\partial y} + \frac{\partial V}{\partial x} \right) - (\bar{U}^2 - \bar{V}^2) \frac{\partial U}{\partial x} - V \left(\frac{\partial U_i}{\partial x_j} + \frac{\partial U_j}{\partial x_i} \right) \frac{\partial U_i}{\partial x_j}$$

$\bar{U}^2 = \bar{U}^2 + \bar{V}^2 + \bar{W}^2$, U, V, X, Y, Z 方向の平均流速を表す。上式で左辺は T_r 、右辺第一項および第二項は P_r 、第三項は ε を表す。 $U \approx W$ を仮定し、 ε は、エネルギー・スペクトルから $\varepsilon = 30V \cdot \bar{U}^2 / f_k^2 = 30V \{ (2\pi/L)^2 \sum_k f_k^2 S(f_k) \Delta f \}$ として求めた。 $(f_k: Taylor の micro scale)$ 全体的にみて、 $T_r \approx P_r - \varepsilon$ の関係は満足されるようである。また、噴流域では $P_r > \varepsilon$ 、両領域の境界付近から逆流域にかけては $\varepsilon > P_r$ の傾向にあり、噴流域から逆流域へと、乱れエネルギーの水深方向への拡散がかなり大きいと考えられる。左辺の移差項の計算結果を見ると、セキ近くの噴流域内では左辺第一項の流れ方向への移差が強く表われ、下流へ行くにつれて第二項および第四項の水深方向への移差が卓越していく傾向にある。



[参考文献]

- (1) 加藤・光易: スペクトル計算法と有限アーリー係数、九州大学応用力学研究所年報 39号 5.47年
- (2) 沢田・加藤: 流れをとかのぼる三次元フルードの一次計算、第1回海岸工学講演会講演集 (1961) P.29